

Laura Aliechini

Contributo sperimentale allo studio degli errori di Nemahiri nel confronto di segmenti
 (nota presentata dal sois corr. talu mette nelle
 Friburgo del 5 novembre 1961)

Maiuscola

Il problema.

Nel 1942 Piaget e Lamberton pubblicarono una ricerca sperimentale sul confronto di segmenti intitolata "La comparaison visuelle des horizonts à distances variables dans le plan fronto-parallèle", composta da tre gruppi di soggetti: bambini di 5-6 anni, bambini di 6-7 anni ed adulti. L'oggetto da confronto sul far confrontare la lunghezza di un metallico disposto verticalmente su un piano. Il soggetto era seduto su un letto di distanza dal soggetto, un'aria della lunghezza di 10 cm sul piano erano collocati due astri per il confronto, una rappresentava lo stimolo costante, di 10 cm di lunghezza, e rimaneva allo stesso posto durante tutto il ciclo di confronti; gli stimoli variabili, costituiti da 17 astri di grandezza variabile da un minimo di 7 cm a un massimo di 13 cm, venivano posti tutti successivamente dallo sperimentatore, per ogni coppia di astri il soggetto doveva dire se lo stimolo variabile era maggiore, uguale o minore dello stimolo costante. Con ogni soggetto venivano crepisti cinque cicli di sperimenti; nel primo lo stimolo variabile e lo stimolo le due astri distavano fra loro 2 m, negli altri rispettivamente 1 m, 25 cm, 3 cm, 3 m. Il soggetto era in posizione simmetrica rispetto alle sue astre.

1) La conversione - - -

in Archives de Psychologie Vol

I risultati degli esperimenti missero in luce la presenza di un fattore intematico, d'errore, che affixa determinava una sotavalutazione dello stimolo costante quando nei cicli costante per piccole distanze fra i due termini di confronto, e una prevalente sopravalutazione, quanto la stessa fra le due distanze è maggiore. Con i soggetti adulti si ottiene in media un prevalente errore di sotavalutazione per distanze fra le due distanze fino ad 1 metro, ed un prevalente errore di sopravalutazione per le distanze maggiori (2 e 3 m).

Secondo P. e L., tale inversione dell'errore intematico era connessa ad una diversa tecnica usata dai soggetti nell'effettuare i confronti. Per le distanze minori i soggetti procedevano alla confrontazione ~~mentale~~ di una figura, congiungendo idealmente con una retta le basi dei due astri da confrontare; l'inclinazione per le distanze maggiori i soggetti ricorrevano alla tecnica del "trascinio": trasportavano cioè idealmente uno asta nello spazio per effettuare il confronto.

L'errore intematico veniva spiegato mediante la teoria della "centrazione-decentrazione", formulata per la prima volta da P. e L. nella citata ricerca, e poi che in seguito divenne il fondamento interpretativo di tutta una serie di ricerche sperimentali sulla percezione visiva, pubblicato sotto la direzione di P. e L. dal 1942 in poi.

Secondo tale teoria, la fissazione è un elemen-

to di una figura ("centrazione") determina un ingranamento della figura stessa, ingranamento che è proporzionale alle sue dimensioni: la coordinazione si ha in effette centrazione (^{decentrazione}) & porta ad una grande comprensione, cioè ad una riduzione dell'errore di valutazione dovuto alla centrazione.

Nel caso del cono specifico del campionato di arte, il soggetto sceglie una generalmente l'asta costante come "mimorante", e perciò tende a fissarla di più dell'asta variabile. Ciò vale in particolare nel caso quando il soggetto usa la tecnica del "trasporto". Quando usano invece la tecnica della "costruzione di figura", il soggetto ~~si~~ sceglie l'asta ~~costante~~ variabile, più l'asta variabile, che gli è meno nota. Perciò per le distanze maggiori si ha ~~una~~ valutazione dell'asta costante, mentre per le distanze minori si ha sopravvalutazione dell'asta variabile, il che equivale ad una sottavalutazione dell'asta costante.

Gli esperimenti di P. e L. furono ripetuti nel meccanismo da Taupier, il quale

il problema. Lo studio sperimentale dei confronti di seguenti fu ripreso meccanicamente da Taupier (2), il quale altre a ripetere sullo stesso l'esperimento di P. e L. in adulti, e quindi altre due serie di esperimenti, del tutto analoghe, con due mani.

Serie di arte di dimensioni diverse, l'una minore di quelle usata da P. e L. (asta variabile da 3,5 cm a 6,5 cm; asta costante di 5 cm) e l'altra maggiore (asta variabile ^{modelli} costante di 50 cm, asta variabile da 42,5 a 57,5 cm).

I risultati di Tamplier Nella serie che riportava gli esperimenti di P. e L., Tamplier trova soltanto brevi in media delle piccole sopravvalutazioni, riferimenti non significativi, tranne infatti una netta prevalenza di sopravvalutazione nella serie di confronti fatti con la serie di minori dimensioni numeri e quelle usata da P. e L. (asta costante ^{modella} di 5 cm) ed una netta prevalenza di sopravvalutazioni nei confronti compiuti con asta La serie di asta è maggiormente dimensioni (asta costante ^{modella} 50 cm).

Inoltre Tamplier osservò che i risultati medi delle singole serie di esperimenti venivano chiariti da un esame dei risultati individuali: mentre i soggetti la maggioranza degli soggetti risultavano, in grande maggioranza classificabili come sopravvalutatori o come sottavalutatori in quanto presentavano un comportamento costante ^{in almeno} sui 5 cicli di esperimenti di ogni serie; si notava, ma, mentre in ogni serie vi erano soggetti sopravvalutatori e soggetti sottavalutatori, che risultava che nella serie con asta di piccole dimensioni prevalessero i sottavalutatori, nella serie di confronti con asta le grandi dimensioni c'era una forte prevalenza di sopravvalutatori, mentre nella serie di asta con dimensioni medie (quella usata da P. e L.) il numero dei sopravvalutatori era uguale a quello dei sottavalutatori.

Tamplier ritiene che i risultati da

Lei ottimisti non possono compatibilmente con
quelle di P. e L. La teoria di P. e L., è proposta
invece una spiegazione fondata sulla ~~teoria~~
~~della "centrata centralità"~~, in base alla quale un
soggetto nell'azione dei sistemi di riferimento ~~è~~
~~particolare a quelle tracce umane~~ (Hollingworth, Lan-
genstein, & Nelson) per cui le tracce umane ~~sotto~~ tendono ad
evolvere in direzione del "punto di antippenenza", che costituisce
il centro del sistema di riferimento. Pur essendo riconosciuti
i sistemi di riferimento dei luoghi vivibili, tuttavia, quanto
più grande è un segmento, tanto più è probabile che esso
ha maggiore del ~~tempo di riferimento del punto di in-~~
~~differenza del sistema di riferimento del segnale in-~~
~~tinidus~~, e via luogo quindi, negli esperimenti
di confronto, ad una sovravalutazione. ed inversamente,
quanto più piccolo è un segmento, tanto più
è probabile che negli esperimenti di confronto, via
luogo ad una sovravalutazione.⁽¹⁾

Piaget si pose dipendendo la sua interpretazione
in sede di ~~de~~ seguente confronto⁽²⁾:

L'interpretazione di P. e L. si fonda sulla diversa tecnica
adottata (in prevalenza) dai soggetti, per ristante picco-
le e grandi fra le altre esponenti. Con la serie di
P. e L. (arta modello cm 10) ~~che~~ i soggetti adulti usano
la tecnica della "costruzione di figura" per ristante
fino a 1 m, e la la tecnica del trasporto per distan-
ze superiori a 1 m. Cambiando le dimensioni, sostiene
Piaget, con la serie ^{piccola} ^{arta modello cm 5} ~~materna~~
~~le proporzioni della figura costruita si avrà costruzione~~
~~di figura per ristante fino a 50 cm, e con la serie~~

(1) V. Tampieri, op. cit. p. 17

(2) J. Piaget - Concentration et sécentration préceptives et zap-
presentatives - Rivista di Psicologia Vol. . . 3

più grande (carta modello cm. 50) n'userebbe la tecnica della costruzione di figura per distanze superiori fino a 3⁽¹⁾ m.
I risultati di Campisi sarebbero quindi in accordo con la teoria di P. e L.: essendo aquali, per tutte e tre le serie, le distanze fra i termini di confronto (rispettivamente cm 3, 25, 100, 200, 300), nella serie con arte più piccole (^{rappresentati} si verrebbero in prevalenza la tecnica del trasporto (forniti con la distanza di 3 cm gli adulti non commettono errori, ~~ma~~ la tecnica della costruzione di figura, che determina sottovalutazione dell'asta cortante sarebbe usata soltanto nel 25% dei confronti) ~~sotto i letti~~, con arte più grande e si avrebbe quindi in prevalenza, sopravalutazione, con ~~corrispondentemente ai risultati~~ la serie delle arte più grandi (^{di Campisi}
(carta modello 50 cm)) i soggetti verrebbero invece, per tutte le distanze, la tecnica del trasporto, che siccome la teoria di P. e L. ~~fa~~ determina una sottovalutazione del termine di confronto, sempre in corrispondenza ai risultati di Campisi.

L'argomentazione di Piaget ^{dunque} si basa sulla possibilità da parte dei soggetti di usare le due tecniche, del trasporto e della costruzione di figura. Per compiere per determinare quale delle due sulle prestazioni del bambino ~~ha~~ quella basata sulla costruzione continua; oltre all'argomento esposto per esteso Piaget porta altri argomenti:

- (1) È poco verosimile che un soggetto usi la tecnica della costruzione di figura per distanze così grandi, trovando segmenti ^{normale} ~~perpendicolari~~ ad un altro dalla confronto fra le sommità delle sue arti.

per controllare la Verità o l'interpretazione,

ne concentrazione, e questa basata sulla tendenza contraria da ritenersi adeguata, è stato compiuto un esperimento in condizioni tali da escludere la tecnica della corruzione della figura.

Tecnica sperimentale. Sono state usate le stesse tre serie di arte utilizzate negli esperimenti di Campioni, ma rispetto ^{delle} non più rispetto Verità, ma scritturalmente. Furono compiuti due cicli di esperimento.

1 ciclo: Le arti erano disposte collinearmente lungo la retta retta, in un piano verticale orizzontale. Distanti dall'altro soggetto regolate in modo che vedilo. La poltrona in cui era seduto il soggetto era regolata in modo che il piano su cui poggiano le arti fosse parallelo all'altro piano degli occhi del soggetto. La distanza fra le arti congiunte, circa 1 m. La sedia era, quindi, priva di indietro. La sedia era, per tutte e tre le serie, di 2 metri. L'arto navello, a sinistra del soggetto, veniva scossa man mano allo stesso posto durante tutta la serie, mentre venivano fatte le arti di confronto. Venivano sostituiti necessariamente non appena il soggetto aveva apprezzato il suo giudizio.

Ogni soggetto riceveva sotto posta successivamente alle tre serie d'esperimento con tutte e tre le serie di arte, nell'ordine seguente: (a) arte piccole (navello 5 cm) (b) arte media (navello 10 cm) (c) arte grandi (navello 50 cm) e fatto per ogni altra figura la tecnica degli esperimenti.

2. (ciclo) Le arti erano disposte perpendicolari alla congiuntura della radice del naso. La linea di mira del soggetto girando quest'ultima fissata con il centro dell'arto. Le sue arti erano collorate orizzontalmente e riportate le tre serie dal lavoro di Campioni. I

talmente, all'altezza degli occhi del soggetto, in due
piani verticali portanti ciascun in rapporto della bar-
ghiera di un per sostenere la ripetizione ^(F) con-
fronti. Venivano compiuti con lo stesso procedimento
descritto per il 1° ciclo.

Per ogni altro aspetto non specificato la tecnica degli es-
perimenti fu identica a quella seguita da Tampieri nella
citata ricerca.

Risultati.

Comparso con Tampieri

Risultati della ricerca sono contenuti nelle tabule
1, 2, 3. Da Tab. 1^a risulta che la media aritmetica degli erre-
ri medi commessi dai singoli soggetti è una soprav-
valutazione per la serie di altezze dell'ordine di grandezza
di 5 cm e sottavalutamento 10 cm, mentre è invece una sotto-
valutazione per la serie di altezze dell'ordine di grandezza
di 50 cm. Il risultato ~~di~~ corrisponde da La rice-
zione dell'errore è identica nei due cicli sperimenta-
tali compiuti ~~sotto le diverse tecniche~~ nelle due
diverse condizioni (altezze collineate ed altezze perpen-
dicolari alle linee di vista) e corrisponde ai risultati
ottenuti da Tampieri sugli esperimenti compiuti
con altezze verticali analogamente a Piaget e Lambert
get.

Anche la percentuale dei soggetti che sopravvalu-
tan l'altezza modello risulta, in tutti e due i cicli
di esperimenti, superiore al 50% per le altezze
dell'ordine di grandezza di 5 e di 10 cm, ed infer-
iore al 50% per la serie di altezze dell'ordine di grandezza
di 50 cm.

Esercizi con arte collineari
(24 soggetti)

Estensione media della zona di equivalenza
Media art. E' generalmente minima

Spostamento medio %

	Serie di arte		
	1. piccole	2. medie	3. grandi
1. piccole	(med. 5 cm)	(med. 10 cm)	(med. 50 cm)
2. medie	0,967 (0,34)	0,887 (0,61)	2,327 (1,59)
3. grandi	5,067 (5,061)	10,057 (10,046)	49,861 (49,687)
Spostamento medio %	+1,34 (+1,22)	+0,57 (+0,46)	-0,28 (-0,62)

Differenza fra gli spostamenti medi % nelle serie 1 e 3: $t = 2,19 \quad P < 0,05$
(i numeri tra parentesi si riferiscono agli esperimenti di Tampier)

Esercizi con arte orizzontali

perpendicolari alle linee di mira

Estensione media della zona di equivalenza (22 soggetti)

E' generalmente media

Spostamento medio %

Serie di arte

	1. piccole	2. medie	3. grandi
1. piccole	(med. 5 cm)	(med. 10 cm)	(med. 50 cm)
2. medie	0,777	2,43	
3. grandi	5,058	10,139	49,492

Spostamento medio % +1,16

+1,39

-1,01

Differenza fra gli spostamenti medi percentuali nelle serie 1 e 3: $t = 2,85 \quad P < 0,01$

Numeri e % di sopravalutazioni

	Serie di arte	Serie di arte
1. piccole	2. medie	3. grandi

Arte orizz. collineari (sog. N° 24) 14 (58,3%) 11 10 X
Arte orizz. perpendicolari alle linee di mira (s. 22) 14 (63,6%) 15 6 X

Arte verticali (Tampier)

χ^2 serie 1-3, arte collineari: non seg 1,4 non significativa

χ^2 serie 1-3, arte perpendicolari: 4,8 $P < 0,01$?

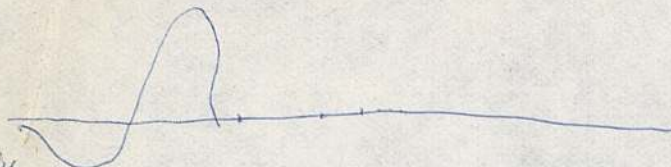
Il fatto di aver ottenuto uguali risultati nei confronti con alte verticale (alla distanza di 2 m fra le due altezze) come in cui secondo Piajet, è possibile convenientemente confronto mediante confronto di figure (per le altezze dell'ordine di grandezza di 50 cm)

nei confronti con altezze orizzontali collinearì (ribassazione in cui la costruzione di figura risulta è impossibile) e nei confronti con altezze orizzontali perpendicolari alle linee di mira (costruzione in cui la costruzione di figura è comunque possibile, da potersi praticamente escludere che i soggetti ricorrono ad un metodo così vaneggiante potrebbe essere possibile soltanto tecnicamente, ma praticamente inattuabile) sta ad indicare che la divergenza dei risultati con altezze grandi e piccole non può dipendere, neppure negli esperimenti con altezze verticali, dall'uso, nei confronti tra altezze grandi, e tra altezze piccole, delle diverse tecniche di confronto, e rappresenta quindi una confutazione dell'affermazione di Piajet, e della spiegazione proposta da P. e L. per il fenomeno.

Un errore rilevante nel confronto di segmenti, al confronto fra i risultati ottenuti nelle due diverse condizioni, si constata che i risultati degli esperimenti con altezze normali sono molto più netti, e i risultati ottenuti risultano sostanzialmente significative. Ciò ripete del fatto che nel confronto grande le figure sono calate

neari il soggetto si trova a dover confrontare
valutare la grandezza di raguenti che non
essendo paralleli al suo piano frontale sono so-
getti ad una deformazione prospettica. In queste
condizioni la valutazione è più difficile e il
giudizio più incerto, ~~e aumenta la variazibilità~~
e variabile.

frequenze
normali
in scala
logaritmica



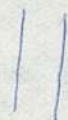
Cosa significa una di queste curve

che una data frequenza spaziale stimola diverse cellule: soprattutto quella che una, poi superano quelle che sono stimolate al massimo dalle frequenti vicine, per passare ad inibire quelle che stimolano frequentemente lontane.

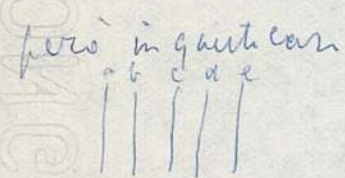
Summazione: due frequenze (o più) contemporanee determinano stimolazioni cellulari che si sommano addizionalmente (o escludono una inibizione), dando luogo ad un'altra curva diversa.

frequenze contemporanee

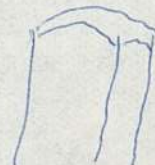
se ho ben capito: ci sono frequenze simili



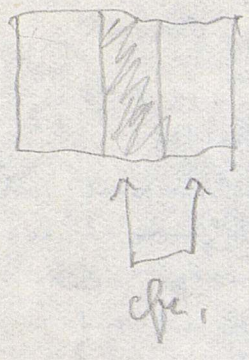
e frequenze contemporanee, cioè
a b c la frequenza ab è la somma di a e b
f. ha sempre frequenze
che sono "risate in parti uguali"
perciò allora le frequenze maggiori
non tutte uguali e agli effetti
della stimolazione contano come
una stessa frequenza. Altrimenti, nel
caso seguente le frequenze da coni-
verare sarebbero 3, e il calcolo
della curva di stimolazione
risultante sarebbe molto
più complicato.



risate in parti uguali
a, aa, ac, ab ?



risata da stabilire: la seconda legge di Poisson è
la curva raddolcita nei migliori
casi, che spiegherebbe i fenomeni
di asottigliamento e di restringimento e
il loro insorgersi



inflection

che riportato fa l'attore nella curva
e che riportato la poniamo

Dimensioni after costante 5 cm

Nº gomme	Dimensioni della variabile V	3,5	4	4,25
	$V > C$			
	$V = C$			
	$V < C$			

Media
coll. normali
5 cm 5,067 5,058

10 cm 10,057 10,139

50 cm 49,861 49,432

Programmi:
% sopravalut.
coll., norm.
60 68 40 32

controllare

54 77 41 23

40 30 60 70

Errore percentuale medio

Mavello	Arte collineari	Arte normali alla lucidatura
	Errore cm %	%
5	$\sqrt{1^2 + 2^2} + 0,049$ + 0,98	+ 0,078 + 1,56
10	+ 0,034 + 0,34	+ 0,159 + 1,59
50	- 0,221 - 0,44	- 0,354 - 0,71

Calcolo dell'attendibilità delle differenze

1. Calcolare l'errore percentuale individuale

$$\text{E}_5 \% = 20 E_5 \quad \text{E}_{10} \% = 10 E_{10} \quad E_{50} \% = 2 E_{50}$$

2. Calcolare la differenza fra gli errori % per ogni soggetto, ecc.

Soggetto	Errore percentuale medio $X_1 = E_5 \%$	Errore percentuale medio $X_2 = E_{10} \%$	Differenza $X = X_1 - X_2$	Variazione $x = X - M_x$	Deviazione se quadrati x^2	$\sigma = \sqrt{\sigma^2}$
1						$\sigma = \sqrt{\sigma^2}$
2						$\sigma_{M_x}^2 = \frac{\sigma^2}{N}$
3						$\sigma_{M_x} = \sqrt{\frac{\sigma^2}{N}} = \frac{\sigma}{\sqrt{N}}$
4						
5						
6						
7						
Somma				$\Sigma = 0$	$\Sigma x^2 =$	
Media					$\frac{\Sigma x^2}{N} = G^2 =$	
			$M_x =$			

Curva
P. e L.
(15 cm.)

Verso l'erronea
non cambia
(T.)
(arte minore)

Errore ist.
positivo 5 cm
negativo 50 cm

Costanza
altezzione
soggetti
l'opp. laterale

Predominio
sopraff.
a 5 cm
e sottr.
a 50 cm

Aumento
soggetti
con la distanza
sui soggetti
e le distanze.

Piaget

(+)

Piaget dice che i bambini preferiscono il trasporto anche per piccole distanze. Tuttavia i bambini di 3 anni preferiscono i soggetti che hanno centri di gravità più vicini al centro del marcello.

Comunque a i soggetti non hanno usato le due tecniche, ciò non ha protetto l'effetto postulato da Piaget.

(±) V. PL pag 48
contraddiz.

Con le arte piccole si preferiscono i soggetti che hanno centri di gravità più vicini al centro del marcello.

Con le arte grandi la cortezia di figura

(criterio di rapporto qualità-misura libidinosa delle figure). Punto di inversione adistanza proporzionale all'altezza

(-)

Mancata la spiegazione per i soggetti

per l'esper. base (10 cm)
Spiegazione

per le arte piccole e grandi

come si spieghi
alla sopraffatt. p.
notionali agisce sempre più
di maggiore liberamente quanto
più lo riguarda
Gioranta n'allontanamento della
fissazione si parlentra

quindi, più c'è libe-
retà mentale è contam-
e questo decentralizza
E: forse i soggetti
se intell. etta
sull'etalon →
decentralizz.

(+)

Risultato
comune

arte fatti causati
da troppi confronti
NB solo 10 soggetti.
Bambini non
hanno riconosciuto
le distanze

(+)

Soggetti in ugual
numero, con il cen-
tro del sistema di
riferimento imp. o
inf. ai livelli della
stessa

(+)

Effetto di
frequenza

(+)

Pont. del
sistema
di riferim.

probabilmente
il centro del
livello del
sistema di riferim.

Aumento
soglia
differenz.

Holl.
Holtzman

1. Chiedere a tutti dopo l'esperimento di riferire come operano (se trasportano che cosa trasportano); oppure richiedere ad ogni soggetto di operare il trasporto del misurante.

2. Interpretare l'effetto

a) facendo fare agli stessi soggetti prima l'esperimento con le carte messe, poi con le carte, poi con le lunghe (con altri messe - lunghe - carte, per vedere se il passaggio lunghe → carte e carte → lunghe provoca effetti, se sussiste forse un rapporto lunghe - carte formula app. e carte - lunghe (poi messe) per l'altra metà, se si sente se si accentua, nel caso effetto sopravanzato, del misurante carte, nel caso sovraccarico del misurante lunghe).

b) usando carte lungheggianti (di legno).

[convene altare e abbassare il soggetto corrispondentemente alle carte lunghe e carte?]

3. Provare con altre modalità percettive (tastierino, guardare mirando con le mani a occhi chiusi; chiarezza o colori)

4. Provare con distanze proporzionali alle grandezze (come in Piaget). (sopra la distanza deve non più limitarsi a qualche ulteriore)

con

||

||

||

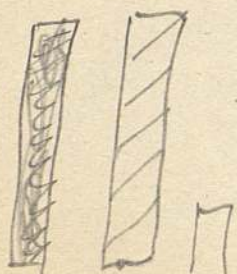
||

a) grandezze
imparati, intuire fra gli oggetti
c. dal soggetto doppie
(per esempio: si apprezzano
uguali, effetti uguali)

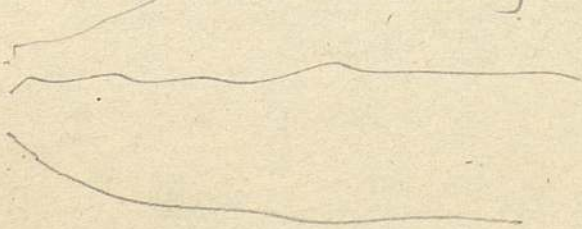
b) grandezze e distanze fra
oggetti e del soggetto, oggetto
(previsione: effetti inverso,
a seconda della diversa
apprezzate)

Progetti di

Confronto si rappresenti
Tavola col numero dei sopra - valori
calcolati e ineliminabili
per le 3 serie



Scrivere numero e percentuali
di sopra - e sottrahibili
nelle tabelle con curve media
e curve dei top e sottaval.
top. 6 (207,1)



$$17,0 = 0$$

$$7,036 \quad 2,52 : 24 = 0,1$$

$$+ 0,33 \cdot 17 = 5,61$$
$$\begin{array}{r} 231 \\ \hline 567 \end{array}$$

$$- 0,89,7 \quad - 6,23$$
$$\begin{array}{r} - 0,62 \\ \hline : 24 = 0,01 \end{array}$$

$$17,198 \quad 33,66$$
$$\begin{array}{r} 1386 \\ \hline 3366 \end{array}$$
$$- 22,54$$
$$\begin{array}{r} 1112 \\ 1152 \vdots 24 \\ 0,46 \end{array}$$

- R

Il punto di transizione da zolfo - a
sopravalutazione è, nella curva di
P. e L. alla distanza variabile + modello
di 130 cm. Se. piaget ~~il rapporto fra~~
~~distanza e altezza dell'asta~~ questa distan-
za critica farebbe proporzionale alla gran-
dezza dell'asta modello; ~~ma~~ nelle esp.
di Tampieri, pur asta di 20 cm ± 10,
vrebbe avere l'inverso a 260 cm di
distanza; invece a q. distanza ± ha
un andamento inverso della curva

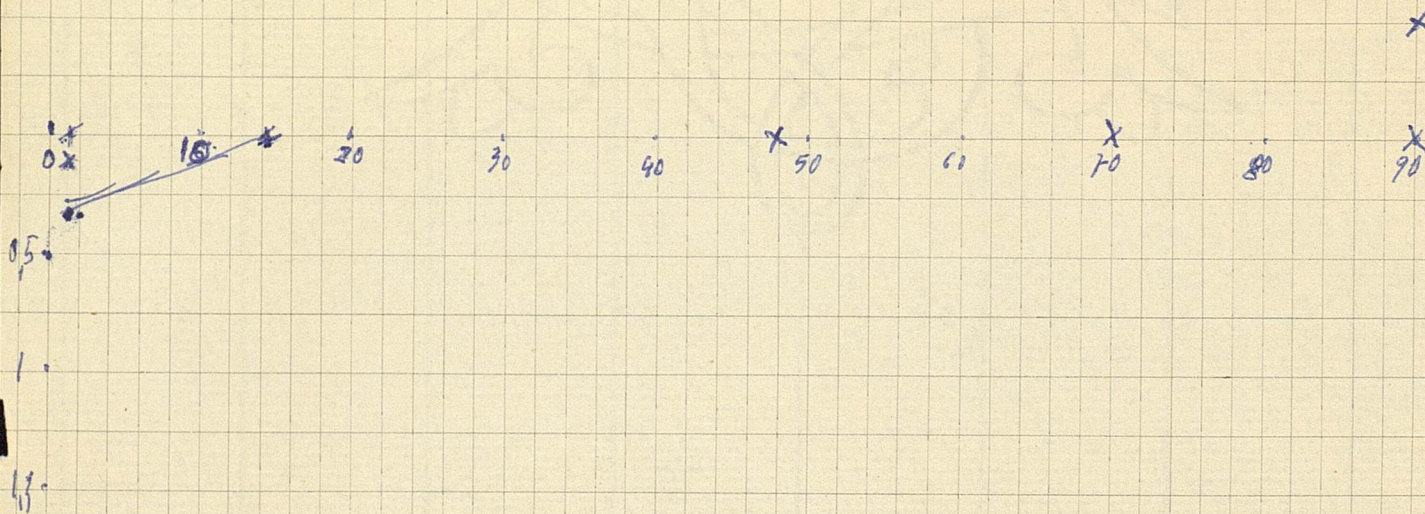
Un solo concubino - clinico
e effetto sul modello di
sviluppo

Favore Tavola con le curve dei sottrattivi
e verso praval. di 10 cm.

Tavella f. argom. a favore delle 2 teorie

Interpretaz. delle curve

Favore Tavola con curve del sopra e sottrattivi e complessi
per ogni grandezza d'asta



71
Interpr. T.

$$\times 16 = 31 : 100$$

Geot.
Diagr. P. e L.

a) bambini: fanno curve di rappresentazione (a quell'età le arte di 10 cm sono sufficienti al punto di intolleranza)

b) adulti: ip.: uguali a rapporto esalt.

curve

Dai dati che portano P. e L. rimulta ~~l'ipotesi~~ possibilità d' dubbio che per le distanze piccole

Eser. marcando
una e poi l'altra asta

Esercimenti con
angolo uguale, e
grandezze diverse

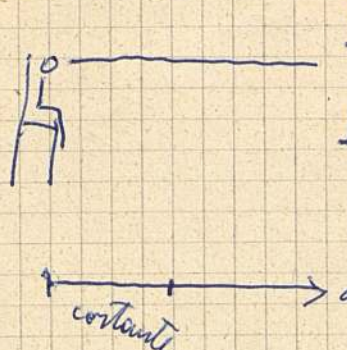
Eserc. con metà di
concentrici - clavis

Eserc. a distanza
costante (come Rapit)

Eserc. a allerta diversa
(permettere la fisi. e
favorire il trasposto)

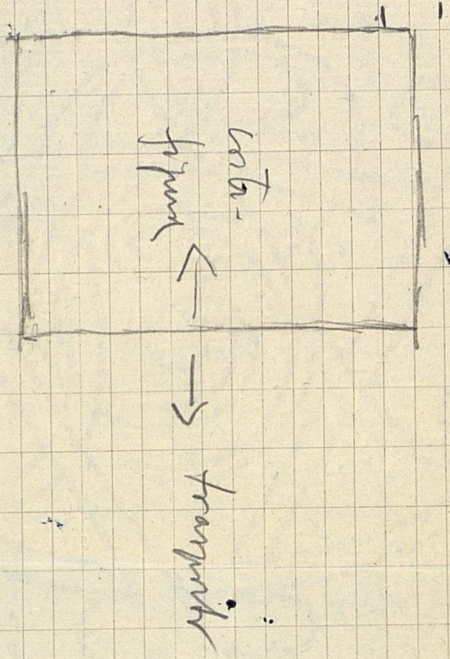
Eserc. con il compito di
procedere in un o nell'altro
dai due diversi punti

5. Rendere necessario il trasporto:

 confronto si stacca una zolla
l'altra. Se quella sotto è
costante, non importa la
distanza della sommità alla
base di quella superiore.

Possibilità e opportunità di fare i confronti a
una sola distanza, diminuendo così il numero
delle prove necessarie. Ma fare almeno due serie
con l'angolo visto accanto, non sperimentato
da Tampieri

26 Prentice College,



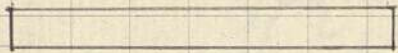
Steckin
purple

14

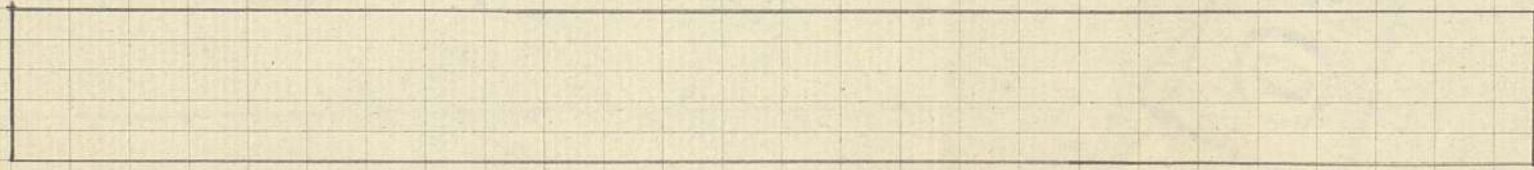
10



5



20



P

+	2	9	19	20	12
0	22	13	5	2	3
-	6	8	6	8	15

M

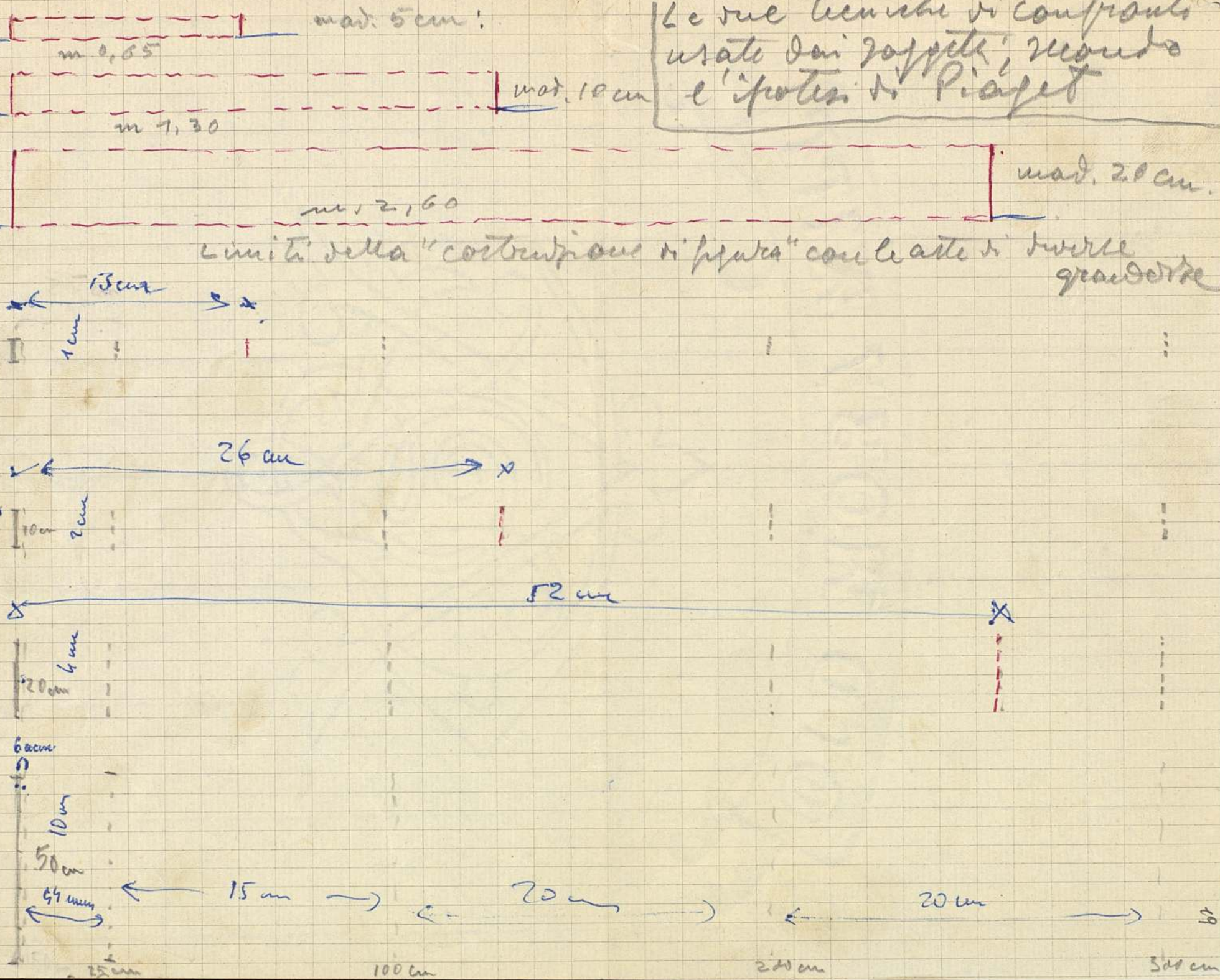
+	3	13	11	15	15
0	25	6	7	4	3
-	2	11	12	11	12

(20)

+	2	14	10	13	11
0	23	10	4	1	3
-	5	6	16	16	16

G

+	1	4	10	8
0	—	2	1	3
-	—	22	19	19



5

Sollevare
fino
le ante

3 m

61

L

$s^{(P.cL)}$

(1,0)

$s^{(T.)}$

(1,80)

Indietro
fini Corte

2 m

$s^{(P.L)}$

(1,0)

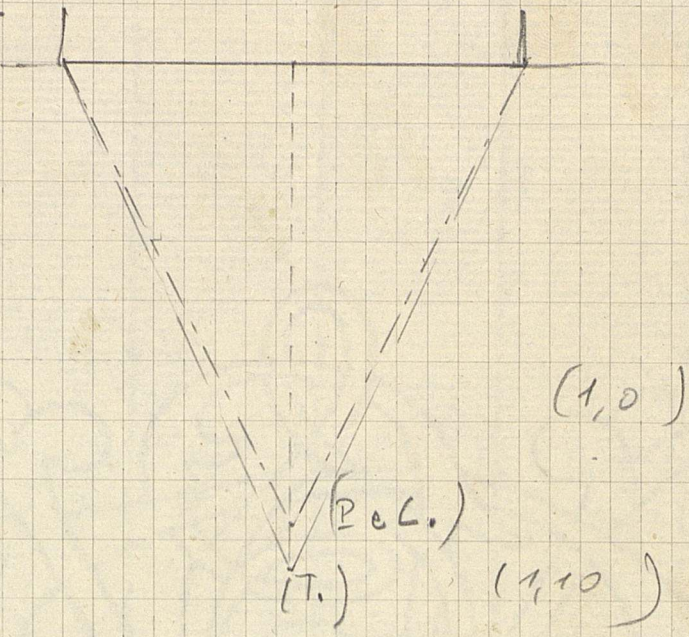
$s^{(T.)}$

(1,40)

Tecnica degli esperimenti

Posizione del rapporto(s) spettro
alle ante, nelle cinque situazioni sperimentate

Distanza fra le ali 1 m



Polarità
fra le ali 25 ang

(P.c.T.)
S

Distanza fra le ali 3 cm

(P.c.T.)
S

Procedure di misura A

Sopra.

Sotto

P_x	u_1	u_2	$u_1 + u_2$
P_y	u_3	u_4	$u_3 + u_4$
	$u_1 + u_3$	$u_2 + u_4$	$u_1 + u_2 + u_3 + u_4 = N$

Preseure Teoriche

$$u'_1 = \frac{(u_1 + u_2)(u_3 + u_4)}{N}$$

$$u'_2 = \frac{(u_1 + u_2)(u_2 + u_4)}{N}$$

$$u'_3 = \frac{(u_3 + u_4)(u_1 + u_3)}{N}$$

$$u'_4 = \frac{(u_3 + u_4)(u_2 + u_4)}{N}$$

$$\chi^2 = \frac{(u_1 - u'_1)^2}{u'_1} + \frac{(u_2 - u'_2)^2}{u'_2} + \frac{(u_3 - u'_3)^2}{u'_3} + \frac{(u_4 - u'_4)^2}{u'_4}$$

SOPRAVAL.

A. Collineari
p. vero %

5 14,5 0,6

A. nonlineari
p. vero %

15 0,68



10 13 0,54

18 0,88

50 20 0,4

6,5 0,3

SOTTOVAL.

A. Collineari
p. vero %

9,5 0,4

A. nonlineari
p. vero %

X 0,32

11 0,46

14 0,6

5 0,23

0,21

Formule di Mise Numer	
P_x	SOPRA SOTTO
SOTTO	Sopra P_x $\begin{cases} N_1 \\ + \\ Sotto P_y \end{cases}$ Sotto P_y $\begin{cases} N_2 \\ + \\ Sopra P_x \end{cases}$
P_y	Sopra P_x $\begin{cases} N_3 \\ + \\ Sotto P_y \end{cases}$ Sotto P_x $\begin{cases} N_4 \\ + \\ Sopra P_y \end{cases}$
SOPRA	Sopra P_y $\begin{cases} N_3 \\ + \\ Sotto P_x \end{cases}$ Sotto P_y $\begin{cases} N_4 \\ + \\ Sopra P_x \end{cases}$

$$\chi^2 = \frac{(N_4 - N_1)^2}{N_4 + N_1}$$

$$\boxed{\text{Yates } \chi^2 = \frac{[(N_4 - N_1) - 1]^2}{N_4 + N_1}}$$

ASTE COLLINEARI

χ^2 $P_5 \quad P_{10}$

~~100~~
10

sopra sotto
sotto 54 + 40 (46 + 40)

5
(60 + 54) 60 + 46

sopra

$$N_1 = 984$$

$$(N_2 = 86)$$

$$(N_3 = 114)$$

$$N_4 = 106$$

$$\underline{N = 400}$$

$$\chi^2 = \frac{(106 - 94)^2}{106 + 94} = \frac{12^2}{200} = \frac{144}{200} = 0,72$$

$p > .10$

$(\chi^2$ raffigurato a N gradi = 0,12228)

χ^2 $P_5 \quad P_{50}$

$$u_1 = 60 + 60 = 120$$

$$(u_2 = 40 + 60 = 100)$$

$$(u_3 = 60 + 40 = 100)$$

$$u_4 = 40 + 40 = 80$$

$$\chi^2 = \frac{(80 - 120)^2}{80 + 120} = \frac{-40^2}{200} = \frac{1600}{200} = 8$$

$p < .01$

$(\chi^2$ rap. a N gradi = 1,92)

χ^2 $P_{10} \quad P_{50}$

$$u_1 = 54 + 60 = 114$$

$$(u_2 = 46 + 60 = 106)$$

$$(u_3 = 54 + 40 = 94)$$

$$u_4 = 46 + 40 = 86$$

$$\chi^2 = \frac{(86 - 114)^2}{86 + 114} = \frac{28^2}{200} = \frac{784}{200} = 3,92$$

$p < .05$

$$\underline{N = 400}$$

$(\chi^2$ rap. a N gradi = 0,948)

A STE Normali

χ^2 p₅ p₁₀

$$u_1 = 68 + 23 = 91$$

$$(u_2 = 32 + 23 = 55)$$

$$(u_3 = 68 + 23 = 145)$$

$$u_4 = 22 + 32 = 109$$

χ^2

$$\chi^2 = \frac{(109 - 91)^2}{91 + 91} = \frac{18^2}{182} = \frac{324}{182} = 1,62$$

p > .10

$$N = 400 \quad (\chi^2_{\text{rapp.}} \text{ a } N_{\text{previo}} = 0,3800)$$

χ^2
 χ^2 p₅ p₅₀

$$u_1 = 68 + 20 = 138$$

$$(u_2 = 32 + 20 = 102)$$

$$(u_3 = 68 + 30 = 98)$$

$$u_4 = 30 + 32 = 62$$

$$\chi^2 = \frac{(62 - 138)^2}{138 + 62} = \frac{-76^2}{200} = \frac{5776}{200} = 28,88$$

p < .01

$$N = 400 \quad (\chi^2_{\text{rapp.}} \text{ a } N_{\text{previo}} = 6,8868)$$

χ^2
 χ^2 p₁₀ p₅₀

$$u_1 = 22 + 20 = 42$$

$$(u_2 = 32 + 20 = 52)$$

$$u_3 = 22 + 30 = 52$$

$$u_4 = 30 + 23 = 53$$

$$\chi^2 = \frac{(53 - 142)^2}{142 + 53} = \frac{-89^2}{200} = \frac{8836}{200} = 44,18$$

p < .01

$$N = 400 \quad (\chi^2_{\text{rapp.}} \text{ a } N_{\text{previo}} = 10,3823)$$

SOPRAVALUTATORI

A. Collineari	B. Noncollineari	A. Collineari	B. Noncollineari				
P. grezzo	%	P. grezzo	%	P. grezzo	%	P. grezzo	%
55 (14,5)	60	(15)	68	(3,5)	48	(5)	32
100 (23)	54	(18)	22	(14)	46	(5)	23
500 (20)	40	(6,5)	30	(14)	60	(15,5)	20

SOTTOVALUTATORI

55 (14,5) 60 (15) 30 (3,5) 48 (5) 32

100 (23) 54 (18) 22 (14) 46 (5) 23

500 (20) 40 (6,5) 30 (14) 60 (15,5) 20

ASTE COLLINEARI

$$\chi^2_{p5 - p10} = 0,72 \quad (p > .10)$$

$$\chi^2_{p10 - p50} = 8 \quad (p < .01)$$

$$\chi^2_{p5 - p50} = 3,92 \quad (p < .05)$$

ASTE NON COLLIN.

$$1,62 \quad (p > .10) \quad \chi^2_{p5 - p10}$$

$$28,88 \quad (p < .01) \quad \chi^2_{p10 - p50}$$

$$44,28 \quad (p < .01) \quad \chi^2_{p5 - p50}$$

Alder-

		GM_x		T	
collineari	Normali	collineari	Normali	collineari	Normali
$E_5\% - E_{10}\%$	3,483	3,205	0,21	0,683	1,0845
$E_5\% - E_{50}\%$	3,639	3,271	0,24	0,635	3,189
$E_{10}\% - E_{50}\%$	2,871	1,876	0,586	0,4	2,45 >0,10
					5,52 <0,01

Frequenze per dimensione variabile con f.a. costante su 5

	3.5	3.75	4	4.25	4.5	4.65	4.75	4.85	5	5.15	5.25	5.35	5.5	5.75	6	6.25	6.5
ASTE (COLLINEARI)	V < C	24	24	23	24	20	19	18	16	4	2	1					
	V = C			1		4	5	6	8	13	12	12	11	4	2		
	V > C								4	5	12	13	20	22	24	24	24
ASTE NORMALI	V < C	22	22	22	22	22	18	18	10	5							
	V = C					5	5	12	14	15	8	4	1	2			
	V > C								3	4	13	15	21	20	22	22	22

Frequenze per dimensione varieabili con β Costante con f_0

χ	$\chi .5$	8	8.5	9	9.25	9.5	9.75	10	10.25	10.5	10.75	11	11.5	12	12.5	13
--------	-----------	---	-----	---	------	-----	------	----	-------	------	-------	----	------	----	------	----

PSTE	$V < C$	24	24	24	24	21	19	19	19	5	1					
COLLINEARI	$V = C$					3	5	5	15	14	15	10	9	5	1	
	$V > C$								5	8	14	15	19	23	24	24

PSTE	$V < C$	22	22	22	22	22	19	19	13	4	1					
NORMALI	$V = C$						3	3	8	16	16	12	5	2		
	$V > C$								1	2	5	10	17	20	22	22
	$V > C$															

Frequenze per di numeri variabili con A. legante con 50

↓ ↓ + ⚡ ↴

49.5	45	46.25	46.85	47.5	48.15	48.75	49.35	50	50.65	51.25	51.85	52.5	53.15	53.75	55	58.5
------	----	-------	-------	------	-------	-------	-------	----	-------	-------	-------	------	-------	-------	----	------

V < c	24	23	23	20	16	15	14	9	4	1	1					M = 46,44
-------	----	----	----	----	----	----	----	---	---	---	---	--	--	--	--	-----------

ASTE

COLLINEARI

V = c	1	1	4	x	9	10	10	11	13	2	5	3	4	3	1	M = 49,90
-------	---	---	---	---	---	----	----	----	----	---	---	---	---	---	---	-----------

V > c				1			5	9	10	14	19	21	20	21	23	M = 48,39
-------	--	--	--	---	--	--	---	---	----	----	----	----	----	----	----	-----------

V < c	22	20	20	18	16	11	11	11	2	3	1					M = 46,46
-------	----	----	----	----	----	----	----	----	---	---	---	--	--	--	--	-----------

ASTE

NOA MHLI

V = c	2	2	4	6	10	10	10	12	12	5	4	2	2	1		M = 49,44
-------	---	---	---	---	----	----	----	----	----	---	---	---	---	---	--	-----------

V > c				1	1	1	8	8	12	12	20	20	21	22	22	M = 51,02
-------	--	--	--	---	---	---	---	---	----	----	----	----	----	----	----	-----------

17, 24

68

119

238

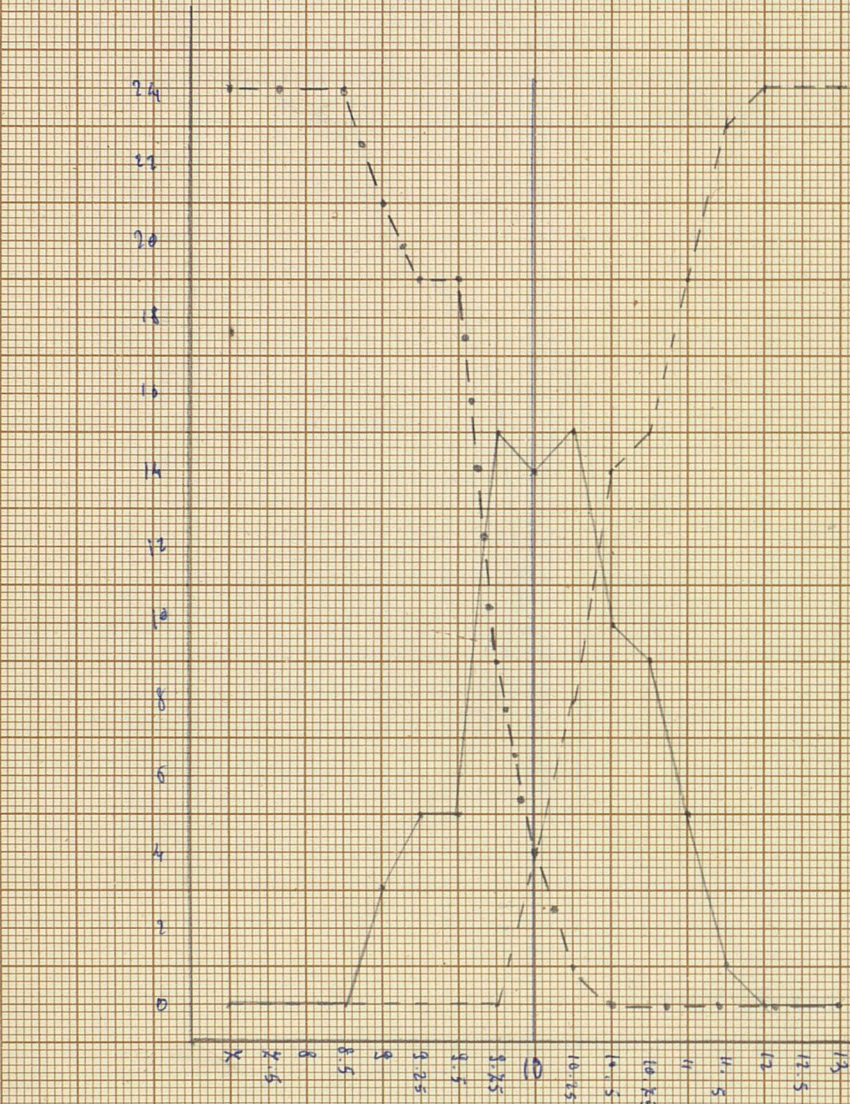
ASTA HO DFLLO cm 10

VLC

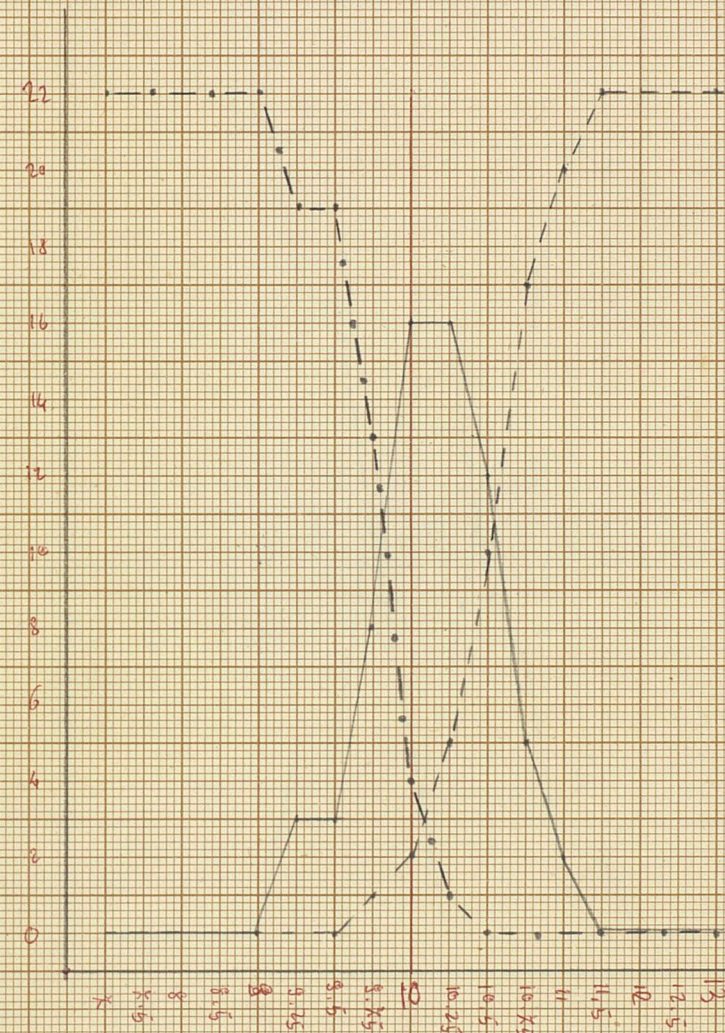
Vc

V7c

ASTE COLLINEARI



ASTE NORMALI



ASTA COSTANTE cm 5

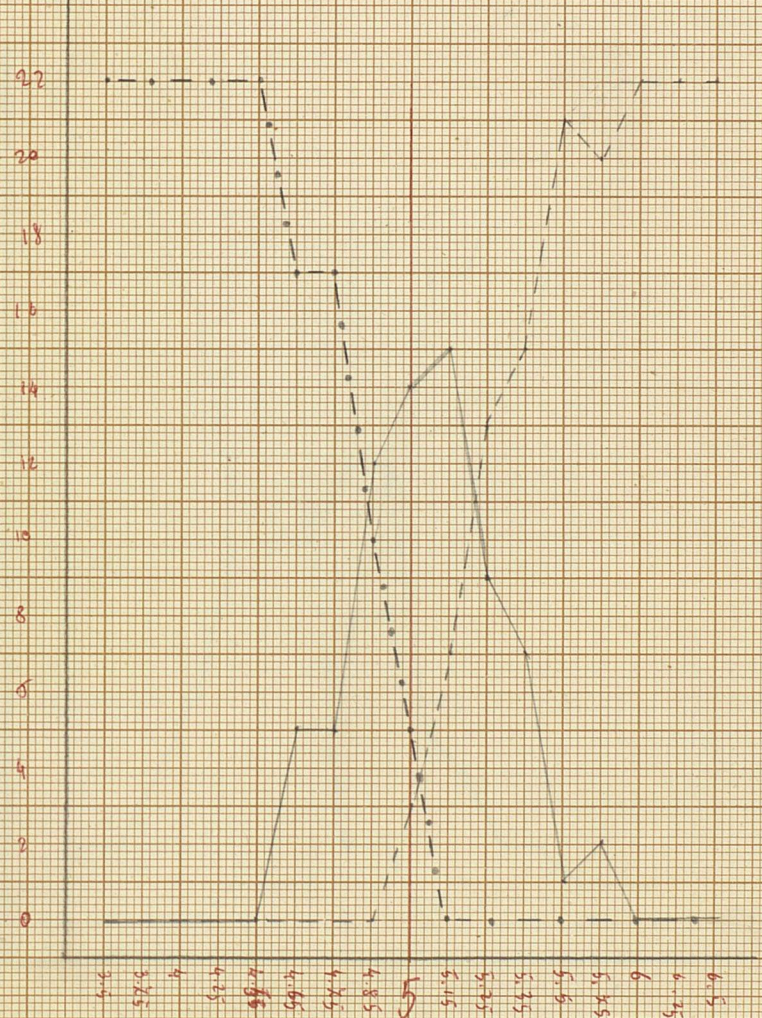
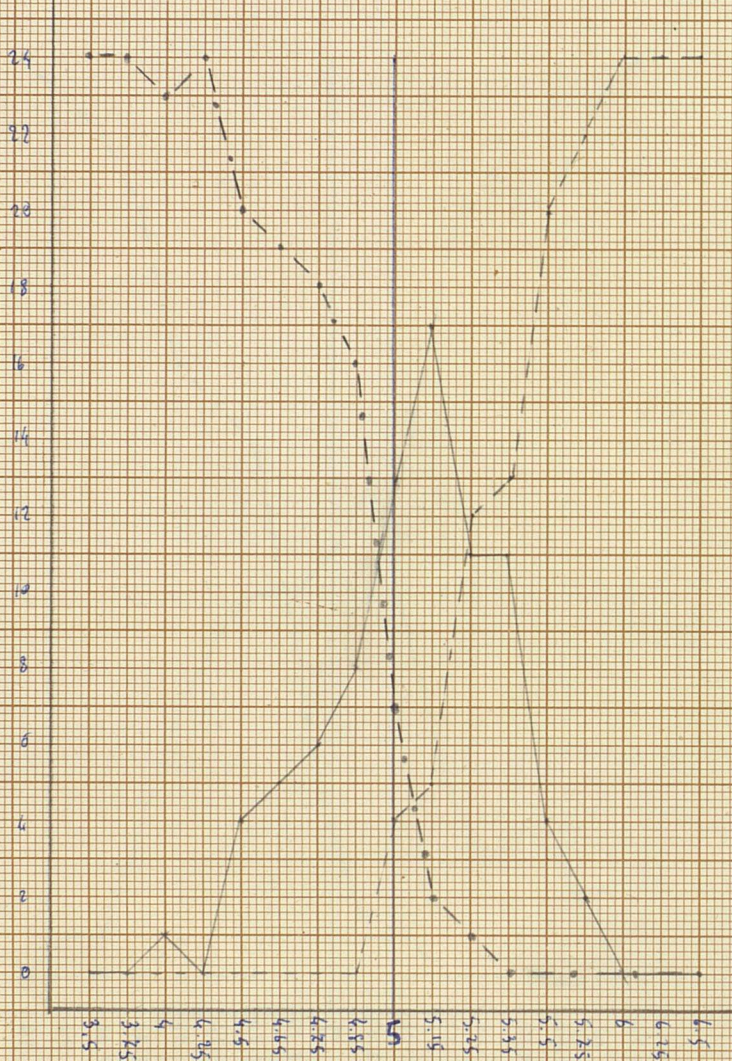
ASTE COLLINARI

$V < C$

ASTE NORMALI

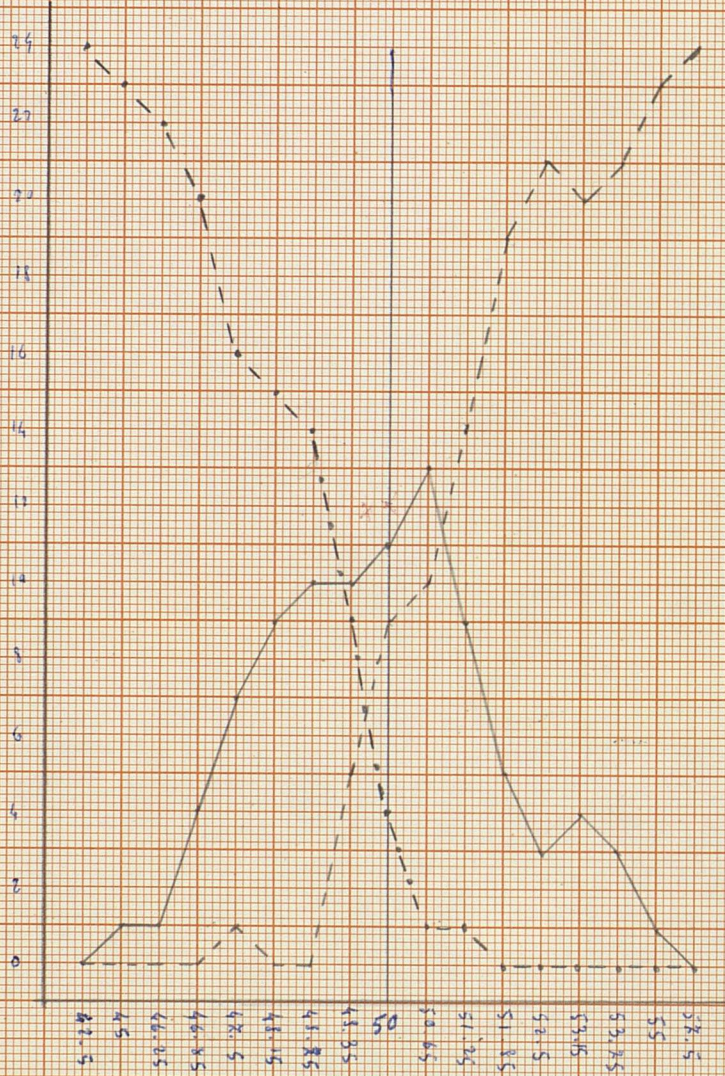
$V = C$

$V > C$



ASTA COSTANTE 50 cm

ASTE COLLINEARI



ASTE NORMALI



A. Sticher

Tutte e due le sbarre: tavolo e salgas verticali

Punto Uff. Soggi.

Scentimento Ja S. M.

Zona Uff. Soggi.

N

	Tavolo	Verticali	Tavolo	Verticali	Tavolo	Verticali	T	V
I Present.	5,0135	5,11	0,0135	0,11	0,435	0,485	10	10
II "	5,0862	5,048	0,0862	0,048	0,4235	0,42	10	10
Totale	5,0494	5,048	0,0494	0,048	0,424	0,4225	20	20
Sala I pres.	5,054	5,066	0,054	0,066	0,482	0,404	14	12
Totale compless.	5,062	5,058	0,062	0,058	0,452	0,41	24	22

B

I Present.	9,9825	10,2	-0,0125	0,2	0,8	0,225	10	10
II "	10,081	10,119	0,081	0,119	0,8825	0,232	10	10
Totale	10,034	10,159	0,034	0,159	0,844	0,256	20	20
Sala I pres.	10,04	10,156	0,04	0,156	0,884	0,29	14	12
Totale compless.	10,052	10,139	0,052	0,139	0,885	0,262	24	22

C

I Present.	49,222	49,841	-0,223	-0,159	2,31	3,692	10	10
II "	49,281	49,451	-0,219	-0,549	3,582	2,0325	10	10
Totale	49,229	49,646	-0,221	-0,354	3,448	2,365	20	20
Sala I pres.	49,919	49,71	-0,081	-0,29	2,205	2,262	24	22
Totale compless.	49,861	49,492	-0,139	-0,408	2,323	2,4325	24	22

Per A = enta modello cm. 5

per B = " " " 10

per C = " " " 50

N	Punto	Ug. Sagg.	Sc. da S. M.	Zona	Ug. S.	Escurssione		
	Tav. I	Vett. II	Tav. I	Vett. II	Tav. I	Vett. II	Tav. I	V. II
1	5,025	5,055	0,025	0,055	0,4	0,5	+ 0,325	+ 0,3
4	4,25	5,25	- 0,25	0,25	0,35	0,35	(+) - 0,025	- 0,2
5	4,9325	4,95	- 0,0625	- 0,05	0,225	0,5	- 0,425	+ 0,425
6	4,925	5,1325	- 0,025	0,1325	0,45	0,125	+ 0,2	- 0,3
8	5,3125	5	0,3125	0	0,225	0,6	+ 0,425	± 0,3
9	5,1125	5,05	0,1125	0,05	0,325	0,5	+ 0,3	+ 0,3
21	5,2125	5	0,2125	0	0,325	0,15	- 0,025	± 0,025
22	4,8125	4,8625	- 0,1825	- 0,1325	0,225	0,125	(+) - 0,025	- 0,2
25	5,1825	5,1125	0,1825	0,1125	0,225	0,625	+ 0,3	+ 0,425
13	4,9	5,0625	- 0,1	0,0625	1,05	0,225	- 0,625	- 3
10	4,8825		- 0,1125		0,325		+ 0,025	
7	5,6		0,4		0,95		- 0,3	
3	5,15		0,15		0,95		+ 0,625	
2	5,2825		0,1825		0,225		+ 0,3	
							(+) + 0,025	
								Σ 45,4225
								5,0463
								0,0463
								0,386

	Tav. II	Vett. I	Tav. II	Vett. I	Tav. II	Vett. II	Tav. II	
11	4,8625	5,0025	- 0,1325	0,0625	0,125	0,225	- 0,025 (+)	+ 0,8
19	5,225	5,2825	0,225	0,2825	0,2	1,125	- 0,2	- 0,25
14	5,05	5,1325	0,05	0,1325	0,5	0,125		
16	4,6625	5,225	- 0,3325	0,225	1,025	0,8		
17	5,25	4,925	0,25	- 0,025	0,35	0,45		
20	5,35	5,225	0,35	0,125	0,55	0,5		
23	5,3	5,025	0,3	0,025	0	0,2		
24	4,9325	5,1325	- 0,0625	0,1325	0,225	0,125		
26	5	5,1825	0	0,1825	0,25	0,225		
19	5,125	4,8825	0,125	- 0,1125	0,5	0,325	+ 0,025	- 3
18		4,8825		- 0,1125		0,325		+ 0,025
15		4,8425		- 0,1825		0,225	- 0,025 (+)	- 3
								Σ 45,6825
								5,0463
								0,0463
								0,613

ASTA MODELO CH. 10

N.	Punto Ug. Sagr. Sees. da S. N.	Zona Ug. S.	Tav. I	Vert. II	Tav. I	Vert. II	Tav. I	Vert. II	Tav. I	Vert. II
1	9.25	10.125	-0.25.0.0625	0.125.0156	0.25	0.5				
4	9.825	10.325	-0.125.0156	0.325.141	1	0.5				
5	9.25	9.325	-0.25.0.0625	-0.625.3906	0.25	0.5				
6	10	10	0	0	0.25	0.25				
8	10.325	10.125	0.325.141	0.125.0156	1	1				
9	10.125	10.5625	0.125.0156	0.5625	0.5	1.325				
21	9.5625	10	-0.4325	0.3164	0.625	0.25				
22	9.25	10	-0.25.0.0625	0	0.25	0.25				
25	10.5625	10.25	0.5625	0.25.0.0625	1.325	0.25				
13	10.125	10.325	0.125.0156	0.325.141	1	1				+ 825 - 125
10	9.6825		-0.3125	0.098	0.825					
2	10.25		0.25.0.0625		1.25					
3	10.325		0.325.141		1.25					
2	10.325		0.325 "		0.5					

	Tav. II	Vert. I	Tav. II	Vert. I	Tav. II	Vert. I	Tav. II	Vert. I	Tav. II	Vert. I
11	9.625	10.25	-0.325.141	0.25.0.0625	0.5	0.25				
12	10.325	10.0625	0.325 "	0.0625	1	1.125				
14	10	10.125	0	0.125.0156	0.25	0				
16	9.525	10	-0.325 "	0	1.25	1.25				
17	10.4325	10.25	0.4325	0.25.0.0625	1.625	1.25				
20	9.825	9.825	-0.125.0156	-0.125.0156	1.5	1				
23	10	10.125	0	0.125 "	0.85	0.5				
24	10.25	10.125	0.25.0.0625	0.125 "	0.25	0.5				
26	10.525	10.8125	0.625.3906	0.8125	0.5	0.825				
19	10	10.325	0	0.325.141	0.25	0.5				
18		10.125		0.125.0.0156		1.5				
15		9.25		-0.25.0.0625		0.25				

Punto Ug. Soif. Scen. da S. M. Zona. Ug. S.

N	Tav. I	Vert. II	Tav. I	Vert. II	Tav. I	Vert. II	Tav. I	Vert. II
1 (occ.)	48.3325	50,15	v-2,6625	0,15 0,0225	1,525	0,3		
4	49.9825	50,6125	v-0,0125	0,6125	3,125	1,825		
5	48.1125	48,0325	v-1,8825	-8,9625	1,825	2,825		
6	50.925	49,525	v 0,925	-0,425	2,5	2,2		
8	51,225	49,6825	v 1,225	-0,3125	2,8	1,825		
9	50.9325	49,8325	v 0,9325x	-0,1625	1,225	1,525		
21 (occ. An)	50.9325	48,25	v 0,9325x	-1,25	1,225	1,85		
23 (n. a.)	48,25	50	v-1,25xx	0	1,85	0,65		
25	49.6825	48,0625	v-0,3125	-0,9325	1,225	3,825		
13	49.325	49,85	v-0,625	-0,15	5,65	4,05		
40	49.0625		v-0,9325x		1,225			
x	50.1625		v 0,2625		4,025			
3	52.1825		v 2,1825		2,425			
2	49,625		v-0,325		0			

	Tav. II	Vert. I	Tav. II	Vert. I	Tav. II	Vert. I	Tav. II	Vert. I
11	48,25	49,2	v-1,25xx	-0,3	1,85	3,5		
12	52,025	49,85	v 2,025	-0,15	3,2	4,05		
14 (An.)	49,825	48,25	v-0,125	-1,25	1,9	1,85		
16 occ.	48,25	48,035	v-1,25xx	-8,9625	4,35	6,525		
17 "	50,30	48,5325	v 0,3	-0,4625	2,5	1,525		
20	49,05	49,0625	v-0,95	-0,9325	5	3,225		
23 An.	49,0625	50,9325	v-0,9325x	0,9325	1,225	1,225		
24 An.	50,6325	50,3125	0,6325	0,3125	0,625	1,225		
26	49,05	52,1825	-0,95 0,9025	2,1825	0	1,225		
19	50,3125	51,0325	0,3125	1,0325	3,225	3,825		
18		49,3625		-0,6325		3,385		
15		48,25		-1,25		1,85		

A. Schmer